

Bayesian Demand Calibration for Dynamic Traffic Simulation

Gunnar Flötteröd, Michel Bierlaire, Kai Nagel

Transportation Science, Vol. 45 No. 4, pp541-561, 2011

2022/05/20
理論談話会 #8
M1 望月陽介

Abstract

- What

非集計、かつ動的な交通シミュレータのcalibration手法
=DTA(Dynamic Traffic Assignment) sim

- How

- ベイズの枠組み
- data : シミュレータ + トラカン

- Result

シミュレータへの適用、大規模なユースケースにも対応

式番号は論文に準拠、途中抜けあり

構成

1. Introduction
2. 集計予測モデルでのCalibration
 - 定式化
 - 計算実験
3. 非集計、動的シミュレータへの拡張
 - シミュレータ定義
 - 定式化
4. 非集計シミュレータでのアルゴリズム
 - 運用のためのアルゴリズム導入
 - 計算実験
5. Case Study
6. Summary & Outlook

1. Introduction

- 問題設定
- 事前知識

設定

- Micro-simulators(Calibration対象)

今回はdisaggregate, dynamicなdemand simulatorが対象(supplyは所与)

モデルの解像度が上がる=モデルの自由度が高まる

→相互影響のモデル化・パラメータ決定(=calibration)の難易度が上がる

- パラメータ

今回シミュレーションは、結果の行動を表す

効用関数の切片など、選択確率を表現するパラメータにも対応可能(summary)

- データ

道路上の交通量

既往研究(Calibration)

- staticな条件でのモデル
 - OD matrix estimation
 - Path flow estimation
 - 尤度最大化(Spiess 1987)、最小二乗法(Bell 1991)、エントロピー最大化(Zuylen and Willumsen 1980)
- dynamic
 - aggregate simulators(Ashok and Ben-Akiva 2000)
 - いくつもの仮定
 - 時間方向の相関関係、または一定の時間内で静的な予測
 - micro-simのcalibration(Sevcikova et al. 2007)
 - 計算可能性(パラメータと観測値間の操作について連続・微分可能・正規性など)
 - 計算時間

事前知識

- demand calibrationの一手法：エントロピー関数最大化
 - 不確定性を表すエントロピーを最大にする=条件のもと偏りのない推定を行う(分布を生成)

情報量: $-\log p$ (ビット)

平均情報量(エントロピー): $H = -\sum_{d \in D} p(d) \log p(d)$

- 事象により得られる情報量の期待値

条件付きエントロピー

$$H(D|Y = y) = - \sum_{d \in D} p_{D|Y}(d|Y = y) \log p_{D|Y}(d|Y = y)$$

- 観測 $Y = y$ が得られた時の、交通流 D のエントロピー

2. Aggregate Path Flow Estimation

- The prior/posterior solution
- 計算実験

問題設定

- 集計的な経路流予測
 - ODペアごとに、経路流量を予測する
 - リンク上のトラカンを観測量として利用
 - 時間軸は省略
 - 同質な旅行者を考慮
- 文字
 - N : #OD pairs
 - d_n : the largest possible #trips between OD pair n
 - C_n : the set of available paths that connect OD pair n
 - d_{ni} : #trips on path $i \in C_n$, where $d_n = \sum_{i \in C_n} d_{ni}$
 - p, P : probability density function, discrete probability function
 - x : the vector of network conditions
 - y : the traffic counts

The prior solution

- 観測なしのPFE(Path Flow Estimation)

SUEを達成する経路流

$$d_{n,i} = P_n(i|\mathbf{x}(\mathbf{d}))d_n \quad (1)$$

は、事前エントロピー

$$W(\mathbf{d}) = \sum_{n=1}^N \sum_{i \in C_n} [d_{ni} \ln P_n(i|\mathbf{x}(\mathbf{d})) - d_{ni} \ln d_{ni}] + \sum_{n=1}^N d_n \ln d_n \quad (2)$$

$$\text{s.t. } d_n = \sum_{i \in C_n} d_{ni} \text{ for all } n = 1, 2, \dots, N$$

を最大化する経路流 \mathbf{d} に相当する。(証明はAppendix A)

N : #OD pairs

d_n : the largest possible #trips between OD pair n

C_n : the set of available paths that connect OD pair n

d_{ni} : #trips on path $i \in C_n$, where $d_n = \sum_{i \in C_n} d_{ni}$

p, P : probability density function, discrete probability function

\mathbf{x} : the vector of network conditions

\mathbf{y} : the traffic counts

The posterior solution

- 観測ありのPFE

- 前ページの条件に、観測 \mathbf{y} の考慮を加える
= 観測 \mathbf{y} が妥当な割合で再生成される経路流を予測

事後エントロピー

N : #OD pairs

d_n : the largest possible #trips between OD pair n

C_n : the set of available paths that connect OD pair n

d_{ni} : #trips on path $i \in C_n$, where $d_n = \sum_{i \in C_n} d_{ni}$

p, P : probability density function, discrete probability function

\mathbf{x} : the vector of network conditions

\mathbf{y} : the traffic counts

$$W(\mathbf{d}|\mathbf{x}) = \ln p(\mathbf{y}|\mathbf{x}(\mathbf{d})) + W(\mathbf{d}) \quad (3)$$

を最大化するような経路流 \mathbf{d} を求める(Appendix B)。

$$P_n(i|\mathbf{x}(\mathbf{d}), \mathbf{y}) = \frac{\exp(\Lambda_{ni} + \Gamma_{ni}) P_n(i|\mathbf{x}(\mathbf{d}))}{\sum_{j \in C_n} \exp(\Lambda_{nj} + \Gamma_{nj}) P_n(j|\mathbf{x}(\mathbf{d}))}, \quad (4)$$

$$\text{where } \Lambda_{ni} = \frac{\partial \ln p(\mathbf{y}|\mathbf{x}(\mathbf{d}))}{\partial d_{ni}}, \Gamma_{ni} = \sum_{m=1}^N \sum_{j \in C_n} \frac{d_{mj}}{P_m(j|\mathbf{x}(\mathbf{d}))} \frac{\partial P_m(j|\mathbf{x}(\mathbf{d}))}{\partial d_{ni}} \quad (5) \quad (6)$$

得られた解の解釈

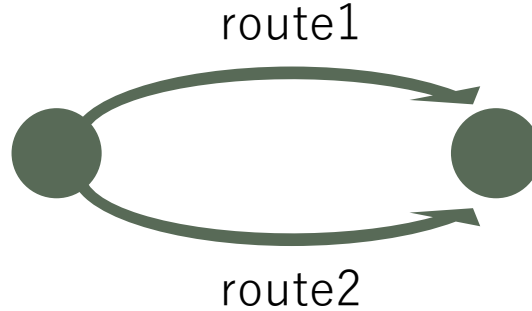
$$P_n(i|x(\mathbf{d}), \mathbf{y}) = \frac{\exp(\Lambda_{ni} + \Gamma_{ni}) P_n(i|x(\mathbf{d}))}{\sum_{j \in C_n} \exp(\Lambda_{nj} + \Gamma_{nj}) P_n(j|x(\mathbf{d}))},$$

$$\text{where } \Lambda_{ni} = \frac{\partial \ln p(\mathbf{y}|x(\mathbf{d}))}{\partial d_{ni}}, \Gamma_{ni} = \sum_{m=1}^N \sum_{j \in C_n} \frac{d_{mj}}{P_m(j|x(\mathbf{d}))} \frac{\partial P_m(j|x(\mathbf{d}))}{\partial d_{ni}}$$

- $\Lambda_{ni}, \Gamma_{ni}$ の解釈
 - Λ_{ni} は経路流 d_{ni} が(尤度)=(観測値の再生成)に与える影響を表している。
 - Γ_{ni} は経路選択がネットワーク状態に対して鈍感であると 0 になる。
→ 計算コストと感度の問題から、後に省かれる
- 解を得るための計算
 - Global Optim とは限らない(が、多くのケースで凸性が保証されており、唯一の解)
 - 微分計算が伴う

計算実験

- シンプルなネットワークでPFEを実行



$$t(d_i) = \left(\frac{d_i}{750} \right)^2, i = 1, 2 \quad (8)$$

$$\mathbf{x}(\mathbf{d}) = \begin{pmatrix} x_1(\mathbf{d}) \\ x_2(\mathbf{d}) \\ x_3(\mathbf{d}) \end{pmatrix} = \begin{pmatrix} t(d_1) \\ t(d_2) \\ d_1 \end{pmatrix} \quad (9)$$

\mathbf{y} はroute1での経路流 : y_1

- 解(経路流=リンク流)は以下から求まる

$$P_n(i|\mathbf{x}(\mathbf{d})) = \frac{\exp(-t(d_1))}{\exp(-t(d_1))+\exp(-t(d_2))}, \quad (10)$$

$$p(\mathbf{y}|\mathbf{x}(\mathbf{d})) \propto \exp \left[-\frac{(y_1 - d_1)^2}{2\sigma_1^2} \right], \quad (11)$$

(σ_1 is the standard deviation of the sensor data)

N : #OD pairs

d_n : the largest possible #trips between OD pair n

C_n : the set of available paths that connect OD pair n

d_{ni} : #trips on path $i \in C_n$, where $d_n = \sum_{i \in C_n} d_{ni}$

p, P : probability density function, discrete probability function

\mathbf{x} : the vector of network conditions

\mathbf{y} : the traffic counts

計算実験結果

- 観測値と観測精度により推定結果を可視化(Fig 1)
 - 観測がない場合と、観測による情報の両方を加味した推定に
- 観測値と観測精度により簡易アルゴリズムの精度を可視化(Fig 2)
 - 計算コストの高い Γ_{ni} を0とした場合(簡易アルゴリズム)の、exact解との差の図
 - 簡易アルゴリズムでも十分な精度であることを確認

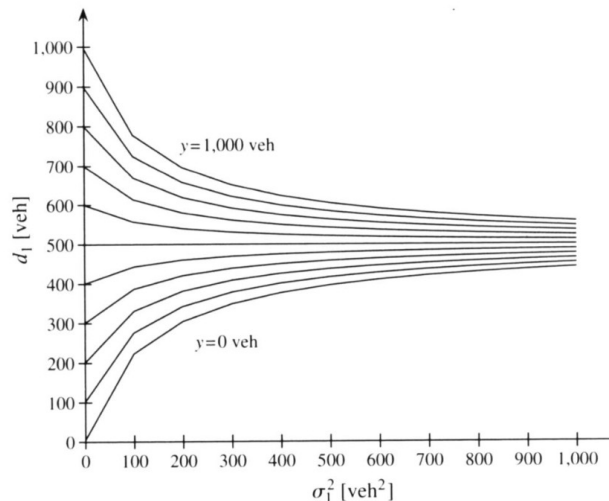


Figure 1 Calibration Results for Two Routes Example

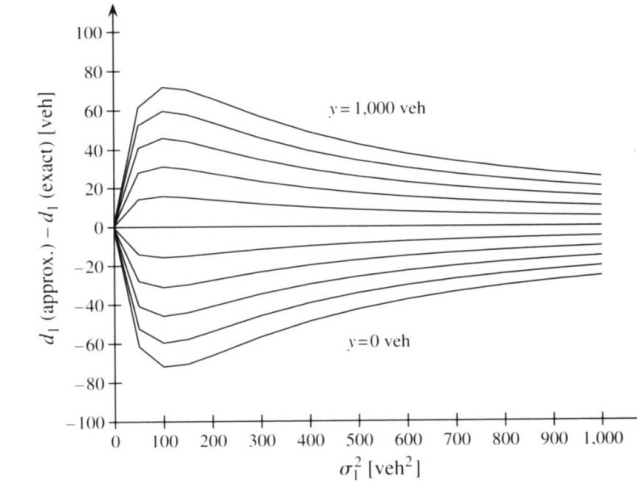


Figure 2 Bias of Simplified Calibration for Two Routes Example

3. Disaggregate Demand Calibration

- DTA simの設定(PFEとの対応)
- The prior/posterior solution

問題設定

- PFEから、問題設定を置き換える

Symbol	Macroscopic	Microscopic
$n = 1, 2, \dots, N$	OD pairs	Agents
C_n	Routes connecting OD pair n	Plans available to agent n
$i \in C_n$	A route connecting OD pair n	A plan available to agent n
d_{ni}	#Trips on route $i \in C_n$	Stationary probability that agent n chooses plan $i \in C_n$
d_n	#Trips in OD pair n	One ($d_n = \sum_{i \in C_n} d_{ni}$)

- Supply sim
 - plan set $\{i\}$ から、network condition \mathbf{x} を生成する
- Demand sim
 - agent n に対して、 $P_n(i|\bar{\mathbf{x}})$ に基づきplan i を生成する

DTA simの解法

- 需要供給が一貫する状況を得る
(繰り返し計算)

N : #Agents
 d_n : 1 for each agent n
 C_n : the set of available plans for agent n
 d_{ni} : Stationary probability that agent n chooses plan $i \in C_n$
 p, P : probability density function, discrete probability function
 \mathbf{x} : the vector of network conditions
 \mathbf{y} : the traffic counts

Algorithm 1 (Iterative dynamic traffic assignment)

1. Initialize cycle counter $c = 0$. ————— free-flowなど

2. Choose initial network conditions $\mathbf{x}^0, \mathbf{x}^{-1}, \dots$

3. Repeat for as many iterations as necessary:

(a) Increase c by one.

(b) Calculate expected network conditions $\bar{\mathbf{x}}^c$ from $\mathbf{x}^{c-1}, \mathbf{x}^{c-2}, \dots$ ————— 移動平均、自己回帰など

(c) Replanning. For $n = 1, 2, \dots, N$, draw plan i_n^c from $P_n(i_n^c | \bar{\mathbf{x}}^c)$. ————— demand sim

(d) Network loading. Draw network conditions \mathbf{x}^c from $p(\mathbf{x}^c | \{i\}^c)$. ————— supply sim

→ $\mathbf{x}^c, \{i\}^c$ が安定

The prior solution

- Stationary Distribution

- 集計モデルの均衡状態に対応する

$$\Pi_n(i) = P_n(i|\bar{x}), i \in C_n, n = 1, 2, \dots, N, \quad (13)$$

$$\Pi(\{i\}) = \prod_{n=1}^N \Pi_n(i_b), \quad (14)$$

$$\pi(x) = p(x|\{i\} \sim \Pi(\{i\})), \quad (15)$$

$$\bar{x} \approx E\{x|x \sim \pi(x)\}. \quad (16)$$

N : #Agents

d_n : 1 for each agent n

C_n : the set of available plans for agent n

d_{ni} : Stationary probability that agent n chooses plan $i \in C_n$

p, P : probability density function, discrete probability function

x : the vector of network conditions

y : the traffic counts

$\pi(\bar{x}^c)$ の期待値と $E\{x|x \sim \pi(x)\}$ が一致 & $\pi(\bar{x}^c)$ の裾野が狭ければ、(13)は

$$\begin{aligned} \Pi_n(i) &= \int P_n(i|\bar{x})\pi(\bar{x}) d\bar{x} \\ &\approx \int \left[P_n(i|\bar{x}^c) + \frac{\partial P_n(i|\bar{x}^c)}{\partial \bar{x}^c} (\bar{x} - \bar{x}^c) \right] \pi(\bar{x}) d\bar{x} \quad (17), (18) \\ &= P_n(i|\bar{x}^c) \end{aligned}$$

により、Algorithm1で得られる分布がStationary Distributionであるといえる。

Application of the Calibration

- variationのあるDTA simで、
PFEでの解法がそのまま適用できる理由

N : #Agents
 d_n : 1 for each agent n
 C_n : the set of available plans for agent n
 d_{ni} : Stationary probability that agent n chooses plan $i \in C_n$
 p, P : probability density function, discrete probability function
 x : the vector of network conditions
 y : the traffic counts

全てのagent n を、サイズが $1/Z$ であるZ人の集合であると考える

- Zd_{ni} は $N(Z\Pi_n(i), Z\Pi_n(i)(1 - \Pi_n(i)))$ に従う
- d_{ni} は $N(\Pi_n(i), \Pi_n(i)(1 - \Pi_n(i)))/Z$ に従う

すると、 $Z \rightarrow \infty$ においてPFEと同様の確定的な出力を得ることができる。
(network loadingにはvariationが含まれるが)

→ 集計的なモデルと、 micro-simulationによる出力の差は、均衡点のnetwork conditionによる小さな差でしかない(Cascetta 1989)

The posterior solution

- PFEの解(4)~(6)と
the prior solution(13)~(16)から、

N : #Agents
 d_n : 1 for each agent n
 C_n : the set of available plans for agent n
 d_{ni} : Stationary probability that agent n chooses plan $i \in C_n$
 p, P : probability density function, discrete probability function
 \mathbf{x} : the vector of network conditions
 \mathbf{y} : the traffic counts

$$\Pi_n(i|\mathbf{y}) = \frac{\exp(\Lambda_{ni} + \Gamma_{ni})P_n(i|\bar{\mathbf{x}}_{|\mathbf{y}})}{\sum_{j \in C_n} \exp(\Lambda_{nj} + \Gamma_{nj})P_n(j|\bar{\mathbf{x}}_{|\mathbf{y}})}, \quad (19)$$

$$\Pi(\{i\}|\mathbf{y}) = \prod_{n=1}^N \Pi_n(i_n|\mathbf{y}), \quad (20)$$

$$\pi(\mathbf{x}|\mathbf{y}) = p(\mathbf{x}|\{i\} \sim \Pi(\{i\})|\mathbf{y}), \quad (21)$$

$$\bar{\mathbf{x}}_{|\mathbf{y}} \approx E\{\mathbf{x} | \mathbf{x} \sim \pi(\mathbf{x}|\mathbf{y})\}. \quad (22)$$

を得る。

The posterior solutionの解法

Algorithm 1

1. Initialize cycle counter $c = 0$.
2. Choose initial network conditions $\mathbf{x}^0, \mathbf{x}^{-1}, \dots$
3. Repeat for as many iterations as necessary:
 - (a) Increase c by one.
 - (b) Calculate expected network conditions $\bar{\mathbf{x}}^c$ from $\mathbf{x}^{c-1}, \mathbf{x}^{c-2}, \dots$
 - (c) Replanning. For $n = 1, 2, \dots, N$, draw plan i_n^c from $P_n(i_n^c | \bar{\mathbf{x}}^c)$.
 - (d) Network loading. Draw network conditions \mathbf{x}^c from $p(\mathbf{x}^c | \{i\}^c)$.

Algorithm 2

1. Initialize the calibration and the DTA sim.
2. Repeat for as many iterations as necessary:
 - (a) Calculate all Λ_{ni} & Γ_{ni} .
 - (b) For all agents $n = 1, 2, \dots, N$, draw a new plan from a choice distribution scaled by $\exp(\Lambda_{ni} + \Gamma_{ni})$
 - (c) Load all agents on the network

N : #Agents

d_n : 1 for each agent n

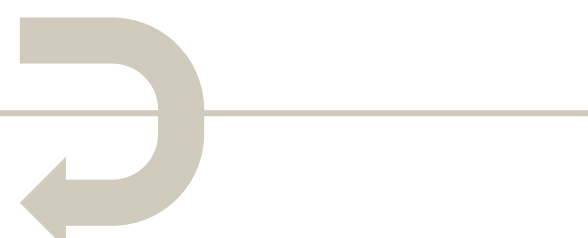
C_n : the set of available plans for agent n

d_{ni} : Stationary probability that agent n chooses plan $i \in C_n$

p, P : probability density function, discrete probability function

\mathbf{x} : the vector of network conditions

\mathbf{y} : the traffic counts



問題 1

How to Calibrate

問題 2

How to Scale

4. Making the Framework Operational

- 計算方法とアルゴリズム
- 数値実験

Scaling項の計算

- 2章の数値実験結果から、 Γ は無視する
 - 計算負荷が高い
 - 無視しても結果が変わらない
- Λ の計算方法を考える

$$\Lambda_{ni} = \frac{\partial \ln p(\mathbf{y}|\mathbf{x}(\mathbf{d}))}{\partial d_{ni}},$$
$$\Gamma_{ni} = \sum_{m=1}^N \sum_{j \in C_n} \frac{d_{mj}}{P_m(j|\mathbf{x}(\mathbf{d}))} \frac{\partial P_m(j|\mathbf{x}(\mathbf{d}))}{\partial d_{ni}}$$

$$\Lambda_{ni} = \frac{\partial \ln p(\mathbf{y}|\bar{\mathbf{x}}_{|\mathbf{y}})}{\partial \Pi_n(i|\mathbf{y})} = \left\langle \frac{\partial \ln p(\mathbf{y}|\bar{\mathbf{x}}_{|\mathbf{y}})}{\partial \bar{\mathbf{x}}_{|\mathbf{y}}}, \frac{\partial \bar{\mathbf{x}}_{|\mathbf{y}}}{\partial \Pi_n(i|\mathbf{y})} \right\rangle \quad (23)$$

第一項は、確率密度関数
から計算するだけ

第二項は、リンク旅行時間が固定されている状況を
仮定して計算する。

Scaling項の計算

- A proportional network下での変形

$$\Lambda_{ni} = \frac{\partial \ln p(\mathbf{y}|\bar{\mathbf{x}}_{|\mathbf{y}})}{\partial \Pi_n(i|\mathbf{y})} = \left\langle \frac{\partial \ln p(\mathbf{y}|\bar{\mathbf{x}}_{|\mathbf{y}})}{\partial \bar{\mathbf{x}}_{|\mathbf{y}}}, \frac{\partial \bar{\mathbf{x}}_{|\mathbf{y}}}{\partial \Pi_n(i|\mathbf{y})} \right\rangle, \quad (23)$$

$$x_a(k) = \sum_{n=1}^N \mathbf{1}(ak \in i_n), \quad (24)$$

$$\bar{x}_a(k)_{|\mathbf{y}} = \sum_{n=1}^N \sum_{i \in C_n} \mathbf{1}(ak \in i_n) \Pi_n(i|\mathbf{y}), \quad (25)$$

$$\Lambda_{ni} = \sum_{ak \in i} \frac{\partial \ln p(\mathbf{y}|\bar{\mathbf{x}}_{|\mathbf{y}})}{\partial \bar{x}_a(k)_{|\mathbf{y}}}. \quad (26)$$

<example>

$$\ln p(\mathbf{y}|\bar{\mathbf{x}}_{|\mathbf{y}}) = const - \sum_{ak} \frac{(y_a(k) - \bar{x}_a(k)_{|\mathbf{y}})^2}{2\sigma_a^2(k)}, \quad (27)$$

$$\Lambda_{ni} = \sum_{ak \in i} \frac{y_a(k) - \bar{x}_a(k)_{|\mathbf{y}}}{\sigma_a^2(k)} \quad (28)$$

$$\Lambda_{ni} = \frac{\partial \ln p(\mathbf{y}|\mathbf{x}(\mathbf{d}))}{\partial d_{ni}},$$

$$\Gamma_{ni} = \sum_{m=1}^N \sum_{j \in C_n} \frac{d_{mj}}{P_m(j|\mathbf{x}(\mathbf{d}))} \frac{\partial P_m(j|\mathbf{x}(\mathbf{d}))}{\partial d_{ni}}$$

Indicator Function **1**, time step k

Scalingの実施

- Rejection Sampling_(Ross 2006)により、確率を実質的に補正
 - agent n に対してプラン*i*が抽出された時、採択率 $P_{accept,n}(i)$ で採択、 $1 - P_{accept,n}(i)$ で棄却する
 - 棄却率 $P_{accept,n}(i)$ は以下

$$P_{accept,n}(i) = \exp(\Lambda_{ni})/D_n, \quad (29)$$

$$D_n \geq \max_{i \in C_n} \exp(\Lambda_{ni}) \quad (30)$$

- プランの抽出と採択決定を、採択されるまで繰り返す
→確率 $P_{accept,n}(i)$ でのScaling(証明はAppendix D)

DTA simでのアルゴリズム

- Scalingの実装を踏まえて、Algorithm1と2を行う

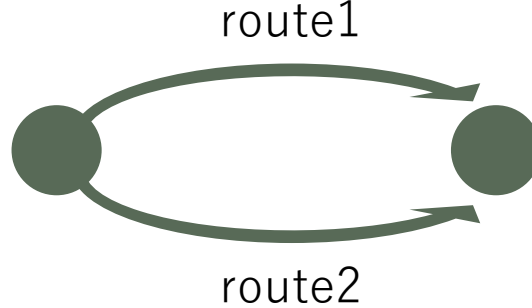
Algorithm 3 (Calibration with the accept/reject estimator)

1. Initialize cycle counter $c = 0$.
2. Choose initial network conditions $\mathbf{x}^0, \mathbf{x}^{-1}, \dots$
3. Repeat for as many iterations as necessary:
 - (a) Increase c by one.
 - (b) Calculate expected network conditions $\bar{\mathbf{x}}_{|\mathbf{y}}^c$ from $\mathbf{x}^{c-1}, \mathbf{x}^{c-2}, \dots$
 - (c) Replanning. For $n = 1, 2, \dots, N$, do:
 - (i) Run the demand simulator and obtain a plan i' .
 - (ii) Calculate $\Lambda_{ni'}$
 - (iii) With probability $1 - P_{accept,n}(i')$, go to step 3(c(i)).
 - (iv) Retain the first accepted draw: $i_n^c = i'$.
 - (d) Network loading. Draw \mathbf{x}^c from $p(\mathbf{x}^c | \{i\}^c)$.



数値実験

- 2章と同じ設定



$$t(d_i) = \left(\frac{d_i}{750} \right)^2, i = 1, 2$$

$$\mathbf{x}(\mathbf{d}) = \begin{pmatrix} x_1(\mathbf{d}) \\ x_2(\mathbf{d}) \\ x_3(\mathbf{d}) \end{pmatrix} = \begin{pmatrix} t(d_1) \\ t(d_2) \\ d_1 \end{pmatrix}$$

y はroute1での経路流 : $y_1 = 250, \sigma_1 = 10$

- プラン、network condition共にcalibrationの効果確認

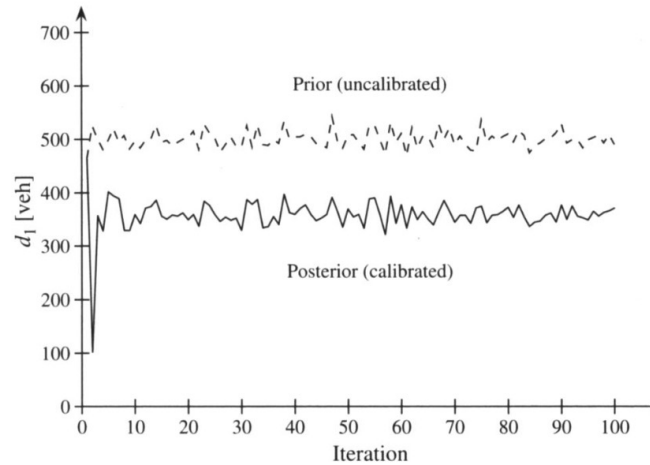


Figure 3 Evolution of d_1 for Two Routes Example

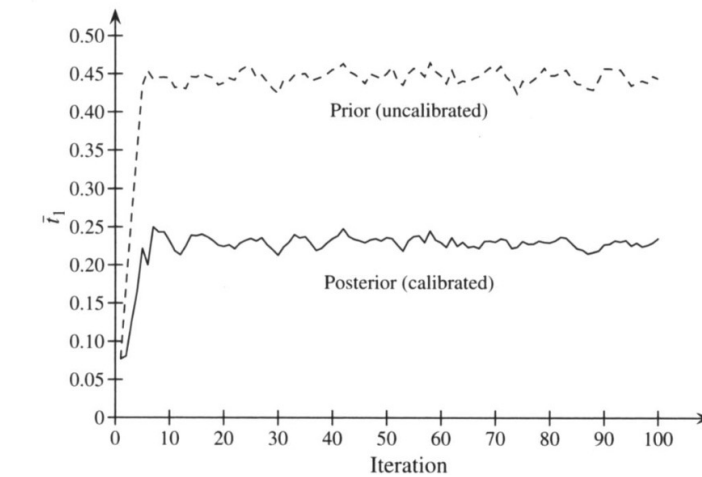


Figure 4 Evolution of \bar{t}_1 for Two Routes Example

5. Zurich Case Study

- 実データでのCalibration効果

設定

- Zurichの実ネットワーク
 - 60492 links, 24180 nodes
 - 中心30km以内を通った車両のみを考慮
 - 187484 agents(全体の10%)
 - 1時間を1タイムステップとして計算
- DTA simとcalibration
 - DTA simにはMATSIM(<http://www.matsim.org>)を利用
 - calibrationはCadyts(<http://transp-or.epfl.ch/cadyts/>)で実装
 - 500 iterationに20時間程度(64-bit, 2.67GHz, 10GB of RAM)

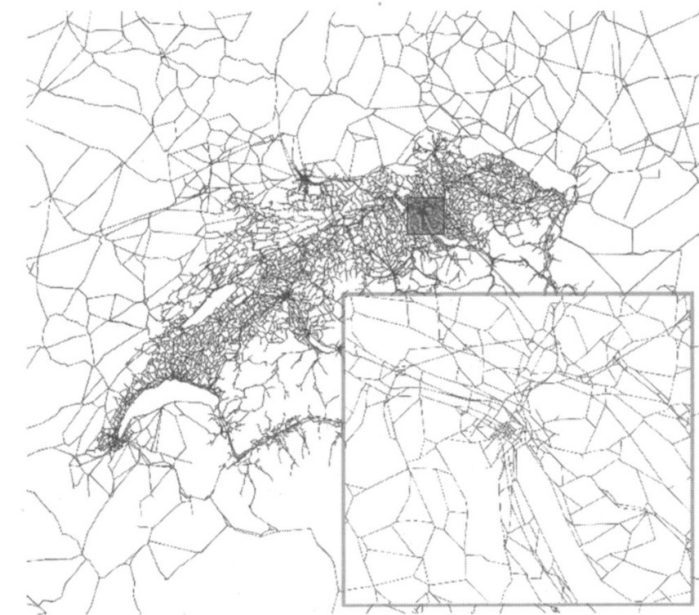


Figure 6 Zurich Network

Calibration結果

- 評価指標が、Calibrationにより低下
 - MWSE:観測分散を考慮した重みづけ誤差

$$MWSE = \left\langle \frac{(y_a(k) - x_a(k))^2}{2\sigma_a^2(k)} \right\rangle_{ak} \quad (31)$$

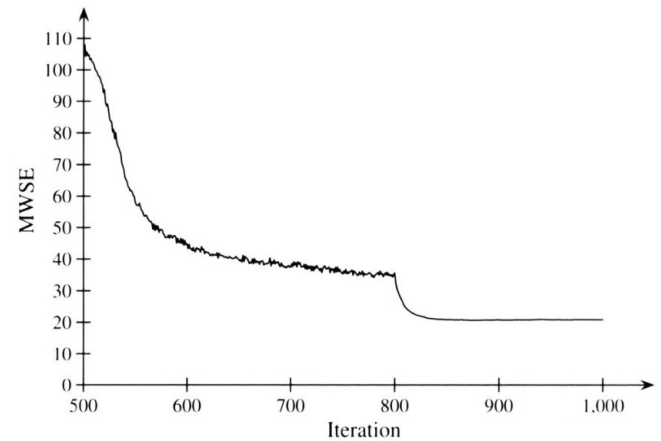


Figure 8 MWSE Using All Counting Stations

- Cross-Validationにより、観測値の再生成性も確認
 - 10データに分けて確認

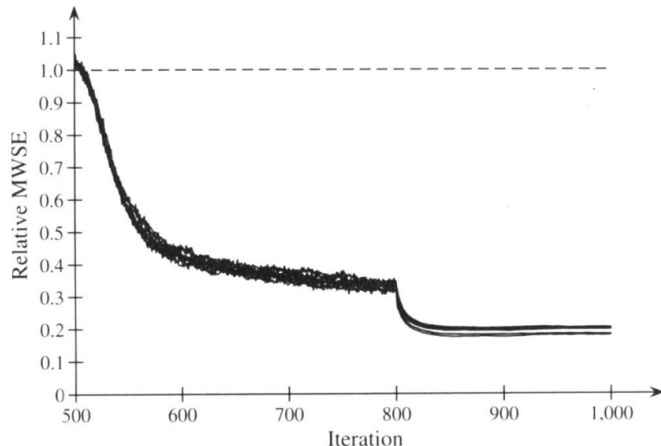


Figure 10 Validation Results—Measurement Reproduction

6. Summary and Outlook

まとめ

- 論文のまとめ
 - DTA simのcalibration
 - ベイズの設定
 - 集計データ(トラカン)を使いつつ、個人レベルのcalibration
 - 実データでの計算、softwareとしての実装
 - freeなので、皆さんも使ってみてください
- Future Works
 - demandとsupplyの両方のcalibration
 - 他種データの組み込み

参考

Gunnar Flötteröd, Michel Bierlaire, Kai Nagel. Bayesian Demand Calibration for Dynamic Traffic Simulations. *Transportation Science*. Vol. 45 No. 4. pp541-561. 2011.

van Zuylen, H., L.G. Willumsen. The most likely trip matrix estimated from traffic counts. *Transportation Res. Part B* Vol. 14 No. 3. pp281-293. 1980.

<https://ocw.hokudai.ac.jp/wp-content/uploads/2016/01/InformationTheory-2005-Slide-02.pdf>

捕捉

- 交通でのエントロピーの考え方

ある交通量を達成する、個々のagentの選択パターン数を考える。

今回のケースでは、あるODペア n に限ると、 $\frac{d_n!}{\prod_{i \in C_n} d_{ni}!}$ が当てはまる。

全てのODペアに拡張すると、 $P_0(\mathbf{d}) = \prod_{n=1}^N \frac{d_n!}{\prod_{i \in C_n} d_{ni}!}$ と表せる。

これを最大にするような \mathbf{d} を求めるため、対数を取ってStirling's approximation : $\ln Z! \rightarrow Z \ln Z - Z$ (for large Z)を用いると、

$$W_0(\mathbf{d}) = \ln P_0(\mathbf{d}) = \sum_{n=1}^N \sum_{i \in C_n} [d_n \ln d_n - d_{ni} \ln d_{ni}]$$
と変換できる。

d_n が所与であることを考慮して、 $\sum_{n=1}^N \sum_{i \in C_n} -d_{ni} \ln d_{ni}$ はエントロピーの形に帰着する。

N : #OD pairs

d_n : the largest possible #trips between OD pair n

C_n : the set of available paths that connect OD pair n

d_{ni} : #trips on path $i \in C_n$, where $d_n = \sum_{i \in C_n} d_{ni}$

p, P : probability density function, discrete probability function

\mathbf{x} : the vector of network conditions

\mathbf{y} : the traffic counts

捕捉

事前確率の計算

$\prod_{n=1}^N \frac{d_n!}{\prod_{i \in C_n} d_{ni}!}$ から拡張し、事前情報 $P_n(i)$ を用いると、

$$P(\mathbf{d}) = \prod_{n=1}^N \left\{ \frac{d_n!}{\prod_{i \in C_n} d_{ni}!} \prod_{i \in C_n} (P_n(i|\mathbf{x}(\mathbf{d})))^{d_{ni}} \right\}$$

事前エントロピー(\leftarrow 'the prior entropy function)の導出

Stirling's approximation : $\ln Z! \rightarrow Z \ln Z - Z$ (*for large Z*)を用いて、

$$\begin{aligned} W(\mathbf{d}) &= \ln P(\mathbf{d}) \\ &= \sum_{n=1}^N \sum_{i \in C_n} [d_{ni} \ln P_n(i|\mathbf{x}(\mathbf{d})) - d_{ni} \ln d_{ni}] + \sum_{n=1}^N d_n \ln d_n \end{aligned}$$

$$\text{s.t. } d_n = \sum_{i \in C_n} d_{ni} \text{ for all } n = 1, 2, \dots, N$$

これをラグランジュで解く(1階微分=0)と、式(1)が導出される。

N : #OD pairs

d_n : the largest possible #trips between OD pair n

C_n : the set of available paths that connect OD pair n

d_{ni} : #trips on path $i \in C_n$, where $d_n = \sum_{i \in C_n} d_{ni}$

p, P : probability density function, discrete probability function

\mathbf{x} : the vector of network conditions

\mathbf{y} : the traffic counts

捕捉

事後確率の計算

$$\begin{aligned} P(\mathbf{d}|\mathbf{y}) &= \frac{P(\mathbf{y}|\mathbf{d})P(\mathbf{d})}{P(\mathbf{y})} \\ &\propto P(\mathbf{y}|\mathbf{d})P(\mathbf{d}) \\ &= \int P(\mathbf{y}|\mathbf{x})P(\mathbf{x}|\mathbf{d})P(\mathbf{d})d\mathbf{x} \\ &= P(\mathbf{y}|\mathbf{x}(\mathbf{d}))P(\mathbf{d}) \leftarrow \mathbf{x} \text{は } \mathbf{d} \text{ の関数} \end{aligned}$$

N : #OD pairs

d_n : the largest possible #trips between OD pair n

C_n : the set of available paths that connect OD pair n

d_{ni} : #trips on path $i \in C_n$, where $d_n = \sum_{i \in C_n} d_{ni}$

p, P : probability density function, discrete probability function

\mathbf{x} : the vector of network conditions

\mathbf{y} : the traffic counts

事後エントロピー (\leftarrow 'the posterior entropy function) の計算

Stirling's approximation : $\ln Z! \rightarrow Z \ln Z - Z$ (for large Z)

$$W(\mathbf{d}|\mathbf{y}) = \ln P(\mathbf{d}|\mathbf{y})$$

$$= \ln P(\mathbf{y}|\mathbf{x}(\mathbf{d})) + \ln P(\mathbf{d})$$

$$\text{s.t. } d_n = \sum_{i \in C_n} d_{ni} \text{ for all } n = 1, 2, \dots, N$$

これをラグランジュで解く(1階微分=0)と、式(4)~(6)が導出される。